

تمييز البيئات التربوية لمواد سلاسل ترب في الأحواض النهرية والأروائية من وسط السهل الرسوبي العراقي

ناظم شمخي رهيل العقيلي - هيئة التعليم التقني / المعهد التقني - كوت
وليد خالد العكidi - كلية الزراعة / جامعة بغداد

Differentiation sedimentological environments of soil series materials within irrigation and river basins from middle-mesopotamian

Nadhum Shamki Rahal - Foundation of Technical Institutes- Kut -
Technical Institutes

W. K. Al-agidi - University of Baghdad - College of Agriculture

Abstract

This work was carried out in East Gharaf lands which were limited with $45^{\circ} 50' 30''$, $45^{\circ} 57' 00''$ longitudes and $32^{\circ} 45' 00''$, $32^{\circ} 45' 35''$ latitudes.

Parameters of sorting of soil material separates were used in terms of (median diameter , inclusive graphic standard deviation δI , inclusive graphic skewness sk_I , kurtosis and transformed kurtosis) to study the status of soil material sorting . Stewart diagrams were used for the differentiation of sedimentation environments .These diagrams showed that , sediments were of one main sedimentation environments (ie river environments) . In , addition the sediments grouped in two subenvironment clusters within the main sedimentation environment provence .These subenvironments were of fine separates sedimentation (river sediment) and medium to coarse separates sedimentation (irrigation sediments) . Both sediments are recent and local physiographic units .Sediments of soil materials were characterized and correlated to their sedimentation environments by the use of triangular diagrams and illustrated in terms of the relative percentages of light minerals (chert , feldspars , biotite) fractions and heavy minerals (pyroxenes, garnet , chlorite) in order to assure their sedimentation environments . Accordingly , it can be suggested that , the use of light

minerals gave better distinction and differentiation between sediments of river and irrigation basins . Also ,the soil use of separates were the best in the differentiation between the subenvironments of sedimentation of river and irrigation sediments .

المستخلص

اختبرت ترب الأراضي الواقعة في شرق الغراف والمحددة بخطي طول " ٣٠° ٥٠' و " ٤٥° ٥٧' ٣٠' شرقاً وخطي عرض " ١٥° ٤٥' ٣٢' و " ٣٥° ٤٥' ٣٢' شمالاً لأغراض هذا البحث . درست درجات فرز مفصولات التربة لمواد ترب أساس موقع الدراسة باستعمال المعايير الإحصائية : الانحراف المعياري الخطي ، معامل الانحراف ومعامل التفرط ومعامل التفرط المعدل . وجذ بأن درجة فرز التربات كانت في معظمها ردية إلى ردية جداً وذات انحراف ناعم من نوع مسطح التفرط . استخدمت مخططات ستويارت لبيان البيانات الترسيبية . إذ أوضحت أن رسوبيات مواد ترب الأساس تعود إلى بيئه تربيب واحدة (تربات نهرية) مع إنزال الرواسب إلى بيئتين فرعيتين ثانويتين وهما بيئه تربيب المفصولات الناعمة (بيئه الأحواض النهرية) وببيئه تربيب المفصولات المتوسطة والخشنة الحجم (بيئه الأحواض الأروائية) وكلتاهم وحدتين فيزيوغرافيتين محليتين حديثي التكوين . وصفت رسوبيات سلاسل الترب وربطت بيناتها الترسيبية من خلال النسب النسبية للمعادن الخفيفة (الصوان والفلسيبار والباليوتايت) والمعادن الثقيلة (البايروكسین والكارنيليت والكلورايت) في مخططات بهدف التأكيد من بيناتها الترسيبية . وكانت المعادن الخفيفة أفضل من المعادن الثقيلة في التمييز . وإن مفصولات التربة كانت أكثر توضيحاً في بيان البيانات الترسيبية الثانوية وتمييز تربات الأحواض النهرية عن الأروائية .

المقدمة :

بين [١] إن الرسوبيات الناعمة تترسب في بيئه المياه الهدائة وتكون ردية الفرز ، وهي رسوبيات نموذجية و خاصة في بيئه الأهوار والبحيرات غالباً . وأستخلص [٢] من دراسته للبيئة الترسيبية في شط العرب إلى إن تحليل تركيب الكلس وحجم الحبيبات لبيئة الساحل العراقي والدللتا تثبت وجود العلاقة المتداخلة بينهما . مع وجود هذه المواد بصيغة ردية الفرز . وإن القواعد العامة حول تراكم الكاربونات هي نافذة في كل من التربات القديمة والحديثة .

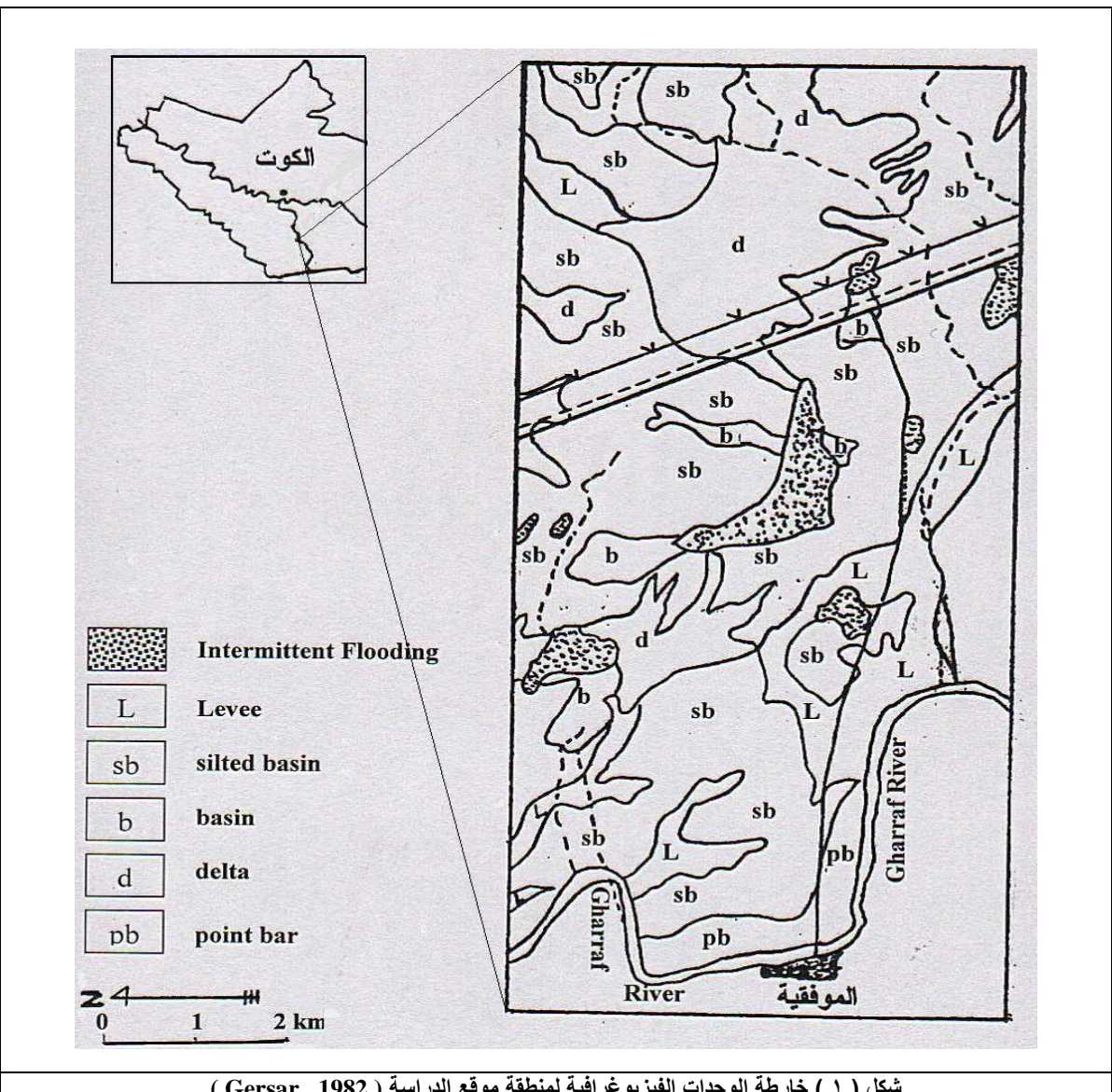
لقد أكدوا [٣] أهمية ربط البيانات الترسيبية بالصفات الجيومورفولوجية مشيرين إلى علاقة الأرتباط القوية بين الجيومورفولوجي والبيدولوجى . إذ الصفات الجيومورفولوجية تعطي مؤشراً للصفات المورفولوجية للتربة ووراثتها . وبينوا [٤] إن ترب وحدة السهل الفيضي الجيومورفولوجية لنهر النيل تتصف بيئه تربات نهر النيل ، وهي بيئه تربيب مائي تتغير أفقياً وعمودياً عاكسة بيئه تربيب محلي يسود فيها المناخ الجاف والرياح والأمواج . وهي بيئه انتقالية تحتوي على وحدات جيومورفولوجية حديثة التكوين وتفقر تربتها إلى الآفاق التشخيصية البيدولوجية ، وأستخدموا في منهجهم التوصيف المورفولوجي لبيان هذه البيانات الترسيبية .

لم يلاحظا [٥] أية تأثيرات للبيئة التربيسية في منطقة روزيتا في جمهورية مصر العربية على صعيد المعادن الثقيلة ومحتوياتها النسبية . إذ استخدما المعادن الثقيلة لتقدير الدليل الرقمي لتمييز البيئات التربيسية . وفي دراسة أجريت [٦] لتشخيص البيئات التربيسية في شمال غرب الخليج العربي باستعمال التوزيع الحجمي للدقائق ومعايير الفرز الأحصائية وكذلك المعادن ، وجدوا بأن المعادن الخفيفة هي الأفضل في تمييز البيئات التربيسية في تلك المنطقة . ووجدا [٧] إن تربات نهر دجلة هي كحجم الغرين ورديئة الفرز وان رسوبيات القعر كانت متوسطة الحجم ورديئة الفرز أيضاً .

أوضحوا [٨] بأن الصفات الكيمياوية لترسبات بحرية أو بحيرية تعكس كيمياوية بيئتها التربيسية وقد أكد [٩] إن لكل بيئه تربيسية تعاقب لثيولوجي Lithosequence مغيرة بعض المفاهيم التربيسية لكل من [١٠] ، [١١] . وفي دراسة أجراها [١٢] وجد أن رسوبيات نهر دجلة في مقدم سدة الكوت كانت من نسجات تتراوح بين المزيجة الرملية والرمل المزيج . مع وجود علاقة بين سرعة التيار وكمية الراسب العالق . واستناداً على أثر الصفات الجيومورفولوجية وأرتباطها القوي بالبيئات التربيسية لمفصولات مواد الترب ، فقد توجهت هذه الدراسة بهدف الكشف عن البيئات التربيسية لمواد ترب الأحواض النهرية والأروائية في وسط السهل الرسوبي العراقي .

المواد وطرائق العمل وصف منطقة الدراسة :

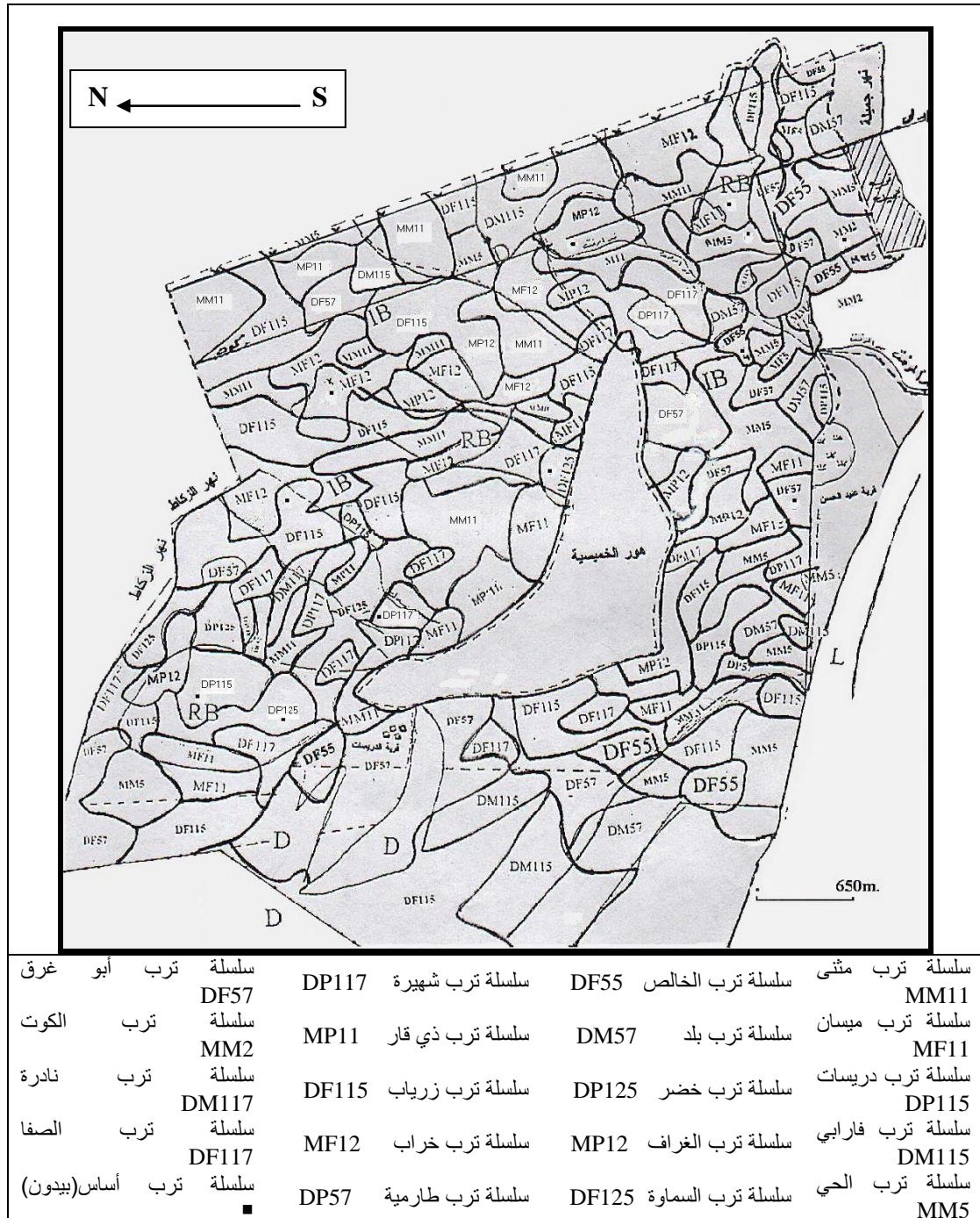
أختيرت الأراضي الواقعه شرق نهر الغراف والمحددة بالإحداثيات الجغرافية بين خط طول $٣٠^{\circ} ٥٠^{\circ} ٤٥^{\circ}$ و $٣٠^{\circ} ٥٧^{\circ} ٤٥^{\circ}$ شرقاً وخطي عرض $١٥^{\circ} ٤٥^{\circ}$ و $٣٢^{\circ} ٤٥^{\circ} ٣٥^{\circ}$ شمالاً . استخدمت لهذا الغرض خارطة الوحدات الفيزيوغرافيه المعدة من قبل شركة [١٣] ، شكل (١) . تعد هذه الأرضي جزءاً من وحدة السهل الفيسي المتفرعة عن وحدة السهل الرسوبي العراقي وتتراوح مناسبيها بين ١٢ - ١٦ م فوق مستوى سطح البحر . إن مادة أصل هذه المنطقة هي تربات نهر دجلة ، تتخللها تربات أروائية ناجمة عن تأثيرات طبيعية نظامي الري القديم والحديث التي أعطت التربة منظوراً تربياً مميزاً . وهي ذات مناخ جاف من صنف Arid الذي يتصف بتساقط مطري سنوي بمقدار ١٤٧.٥ ملمتر ومعدل درجات حرارة سنوية يبلغ ٢٤.٣ م . صنفها [١٤] ضمن المنظومة البدوايكولوجيه ($S_2O_2A_2 / B4213$) إذ تسود فيها النباتات الطبيعية الآتية : العاقول Schanginia aegyptiaca والطرطيع Alhaji maurorum والشوبيل Tamarix Cressa Cretica والطرفه Longnonychium fractum والعرش Aeluropus Lagapioidus Mamifera .



شكل (١) خارطة الوحدات الفيزيوغرافية لمنطقة موقع الدراسة (Gersar , 1982 ,)

الإجراءات الميدانية :

جرى مسح لتراب هذه الوحدات الفيزيوغرافية بالطريقة الحرجة وبخطوات أصولية وعلى درجة المسح شبه المفصل . وأستخدمت لهذا الغرض خريطة الوحدات الفيزيوغرافية بمقاييس رسم ٣٥٠٠٠ : ١ . فتحت ١١٥ حفرة متقابية ونفذت خريطة سلاسل الترب بمقاييس رسم ٣٥٠٠٠ : ١ للمسح الشبه المفصل وحسب مقترن نظام تصنيف التربة العراقي [١٥] [شكل ٢)] . حددت مواقع ترب أساس(بدون) سلاسل الترب وبمفهومها المركزي وكذلك استحصل العينات الممثلة لآفاق تربها بغية أعدادها للقياسات المختبرية .



شكل (٢) خريطة مسح وتصنيف التربة وفق نظام سلاسل الترب العراقي ١٩٧٦ - Al-agidi ترب منطقة البحث
الإجراءات المختبرية :

بعد تهيئه عينات الترب أجرت عليها القياسات الآتية: التوزيع الحجمي لدقائق التربة تم بموجب التحليل الميكانيكي لعينات التربة بطريقة [١٦] . ثم قدرت نسب معادن الرمل بعد

الحصول على مقصول الرمل الناعم (μ 250 - 100) وفصل المعادن الخفيفة عن الثقيلة من أجزاء الرمل الناعم باستخدام محلول توليه ذي الوزن النوعي ٢.٨٥ غم . سم^{-٣} ثم حضرت الشرائح الزجاجية وشحذت وقدرت نسب المعادن بشكل كمي باستعمال تقنية المكرسكوب المستقطب طبقاً لمواصفاتها البصرية حسب [١٧] .

حسب درجة فرز الرواسب باستعمال المتغيرات الأحصائية Inchnsive graphic Graphic Mean (M Z) ، والمعدل الخطى لحجم ترسيات (M Z standarded deviation) ، ومعدل التقرط KG الذي عدل إلى معدل التقرط المنقول Transformed Kurtosis KG ومعدل الالتواء Skewness Kutosis KG ومعدل المقترحة جميعاً من قبل [١٨] واستخدمت مخططات [١] لتحديد البيئات التربوية لرواسب مواد ترب سلاسل الترب في الأحواض النهرية والأروائية في المنطقة .

النتائج والمناقشة :

إن النتائج المعروضة في الجدول رقم (١) تبين أن أغلب (ترب الأحواض النهرية والأروائية) هي ناعمة النسجة إلى متوسطة وسبب ذلك يعزى إلى بُعد موقع هذه الترب عن موقع الناقل الرئيسي وسيادة المفصولات الناعمة في حمولتها وبسبب الانخفاض المستمر في مقدار الطاقة الناقلة وطول اندحار الأرض الأمر الذي أدى إلى تناقص طاقته مع المسافة والزمن وبالتالي سيادة المفصولات الناعمة في هذه المواقع ، [٩] . لذلك فهي موقع ترسيب بطيء. إذ يبين الجدول رقم (١) إن كميات مقصول الطين التي تراوحت (٦٩٥.٣ - ١٢٣) غم. كغم^{-١} في تربتي الحي MM5 والصفا DF117 على التوالي . أما مقصول الغرين فقد تراوحت كميته بين (١٢٠.٣ - ٧١٤.٣) غم. كغم^{-١} في تربتي الكوت MM2 وزرياب DF115 على التوالي . وبلغت كمية الرمل (٥٠.٠ - ٧٩٩.٩) غم. كغم^{-١} في تربتي الغراف MP12 والكوت MM2 على التوالي . ويلاحظ أن نسجة التربة تميل إلى أن تكون ناعمة كلما اتجهنا بعيداً عن موقع مصدر الإرساء المائي (نهر دجلة والغراف) وكذلك مصدر الإرساء الثانوي (نهر جميلة) إذ موقع سلسلة الكوت MM2 وهذا يفسر وجود حالة الترببيب المتدرج . إن تواجد سلاسل ترب متوسطة الخشونة مع سلاسل ترب معتدلة النعومة وناعمة في منطقة الدراسة يمكن أن يعزى إلى طبيعة الترببيب البطيء وضعف حمولته وقلة رخمه وسعنته ، [١٩] ، [٢٠] .

جدول (١) يبين بعض الصفات الفيزيولوجية في ترب أساس بعض سلاسل الترب في منطقة الدراسة

النوعية	النوعية الجغرافية	التوزيع الحجمي للفانيل التربة										سلسلة التراب	
		غرين غم.كم					الرمل غم.كم						
		النسبة المئوية	النسبة المئوية	النسبة المئوية	النسبة المئوية	النسبة المئوية	النسبة المئوية	النسبة المئوية	النسبة المئوية	النسبة المئوية	النسبة المئوية		
SiC	516.8	413.6	150.7	262.9	69.6	1.2	1.6	2.4	2.6	61.8	٢٩ - ٣٠	A	MM11 حوض نهر ١ تربة المثلث
SiC	479.7	465.9	109.0	356.9	54.4	0.0	1.5	1.7	7.8	43.4	٥٥ - ٦٩	C1	
SiC	538.3	441.4	88.6	352.8	20.3	0.0	1.4	0.2	5.4	13.3	٨٥ - ٩٥	C2	
SiC	539.7	444.6	41.8	402.8	15.7	0.0	0.8	1.5	1.2	12.2	١٢٥ - ٨٥	C3	
SiC	546.0	443.5	68.9	374.6	10.5	0.0	0.8	1.2	0.8	7.7	١٥٠ - ١٢٥	C4	
SiL	220.1	621.2	423.6	197.6	158.7	0.0	1.1	20.2	32.1	105.3	٣٠ - ٣١	A	MM5 حوض نهر ١ الحر
SiL	12.3	599.9	313.2	286.7	387.8	0.0	4.2	54.2	135.2	194.2	٦٨ - ٣٠	C1	
SiL	53.0	523.0	223.4	299.6	424.0	0.0	2.0	41.0	221.0	160.0	٩٦ - ٦٨	C2	
SiL	40.5	533.5	191.0	342.5	426.0	0.0	3.4	2.8	115.2	304.6	١٢٥ - ٩١	C3	
SiL	40.1	517.6	267.3	250.3	442.3	0.0	5.4	7.8	161.6	267.5	١٥٠ - ١٢٥	C4	

جدول (١) مستمر

التوزيع الحجمي لنقائص التربة												النوع (سم)	النوع	النوع
النوع	النوع	غرين غم.كم²				الرمل غم.كم²								
		١	٢	٣	٤	١	٢	٣	٤	٥	٦	٧	٨	٩
SiC	470.5	506.7	60.6	446.1	22.8	0.0	0.2	0.6	3.8	18.2	١٨ - ٠	A	MP12 حوض ري ٢ الغراف	DF55 حوض ري ١ الخالص
SiC	528.9	457.1	101.5	355.6	14.0	0.0	0.4	1.4	6.0	6.2	٣٢ - ١٨	C1		
C	643.8	345.2	20.4	324.8	11.0	0.0	0.5	1.3	4.6	4.6	٧٩ - ٣٢	C2		
C	664.6	330.4	31.0	299.4	5.0	0.0	0.5	0.8	1.8	1.9	١٢٨ - ٧٩	C3		
C	613.8	372.0	10.2	361.8	14.2	0.0	0.1	0.2	2.7	11.2	- ١٢٨ ١٥.	C4		
L	265.7	414.3	146.1	268.2	320.0	0.0	1.7	3.0	75.2	240.1	٢٥ - ٠	A	DF115 حوض ري ٣ زرباب	DF117 حوض ري ٣ الصفا
SiL	148.2	581.5	406.5	175.0	270.3	0.0	3.2	3.5	35.3	228.3	٦٠ - ٢٥	C1		
L	133.9	458.2	162.3	295.9	407.9	0.0	2.7	3.5	169.0	232.7	٩٥ - ٦٠	C2		
L	148.7	446.0	112.5	333.5	405.3	0.0	0.3	5.0	42.2	357.8	١٣٥ - ٩٥	C3		
SiL	214.3	530.1	244.5	285.6	255.6	0.0	3.3	8.3	32.0	212.0	- ١٣٥ ١٥.	C4		
SiC	454.9	526.3	87.3	439.0	18.8	0.0	0.8	0.6	7.6	9.8	٣١ - ٠	A	MF12 حوض نهر ٢ خراب	DF125 حوض نهر ٢ سماوة
SiC	531.9	456.2	44.7	411.5	11.9	0.0	0.2	1.7	3.8	6.2	٦٦ - ٣١	C1		
SiC	546.3	447.8	55.2	392.6	5.9	0.0	0.3	0.4	2.4	2.8	٩٠ - ٦٦	C2		
SiC	546.9	446.1	41.8	404.3	7.0	0.0	1.2	1.4	2.0	2.4	١١٥ - ٩٠	C3		
SiL	258.7	714.3	205.6	508.7	27.0	0.0	0.4	0.6	9.5	16.5	- ١١٥ ١٥.	C4		
SiC	٥٠٩. ٤	٤٤٩. ٠	١٠١. ٠	٣٤٨. ٠	٤١.٦	٠.٠	١.٨	١٥.٩	١.٤	٢٢.٥	٢٢ - ٠	A	DF117 حوض ري ٣ الصفا	DF125 حوض نهر ٢ سماوة
SiC	٥٦٥. ٤	٤٠٤. ١	٧١.٧	٣٣٢. ٤	٢٠.٥	٠.٠	١.٨	٢.٢	٧.٥	١٩.٠	٥٥ - ٢٢	C1		
SiC	٥٥٦. ٥	٤٣٦. ٨	٣٨.٧	٣٩٨. ١	٦.٧	٠.١	٠.٤	١.٢	١.٢	٣.٨	٨٥ - ٥٥	C2		
C	٦٩٥. ٣	٢٩٤. ٥	٥٣.٨	٢٤٠. ٧	١٠.٢	٠.٥	٠.٢	١.٨	٣.٨	٣.٩	١٢٠ - ٨٥	C3		
C	٥٨٨. ٠	٣٨١. ٤	٥٧.٤	٣٢٤. ٠	٣٠.٦	٠.٠	١٧. ٩	١.٦	٥.٥	٥.٦	١٥٠ - ١٢٠	C4		
SiC	423.4	546.0	41.7	504.3	30.6	0.0	4.4	0.4	4.4	21.4	28 - ٠	A	MF12 حوض نهر ٢ خراب	DF125 حوض نهر ٢ سماوة
C	619.0	364.3	194.3	170.0	16.7	0.0	0.3	0.9	0.5	15.0	٧٢ - ٢٨	C1		
SiC	550.7	431.0	76.7	354.3	18.3	0.0	2.1	1.7	0.4	14.1	٩٦ - ٧٢	C2		
C	600.5	381.9	29.9	352.0	17.6	0.0	1.2	1.6	6.9	7.9	١٥٠ - ٩٦	C3		
C	٦٤٢. ٨	٣٣١. ٣	٣٣.٦	٢٩٧. ٧	٢٥.٩	٠.٠	١.٤	١.٣	٣.٣	١٩.٣	٢٥ - ٠	A		
C	٦٠٤. ١	٢٦٨. ٩	٣١.٥	٢٣٧. ٤	١٢٧.٠	٠.٠	١.٩	١.٠	٦.٤	١١٧. ٧	٦٨ - ٢٥	C1	DP125 حوض نهر ٣ حضر	DF125 حوض نهر ٢ سماوة
SiL	٢٠٦. ٧	٦٠٣. ٣	٢٩٣. ٦	٣٠.٦. ٧	١٩٠.٠	٠.٠	٠.٠	٠.٨	٣١.٠	١٥٨. ٢	١١٠ - ٦٨	C2		
SiL	٢٢٢. ٠	٦٤٦. ٨	٣٠٠. ٦	٣٤٦. ٢	١٣١.٢	٠.٠	٠.٥	٠.٧	١٤.٨	١١٥. ٢	- ١١٠ ١٥.	C3		
C	481.5	364.7	120.0	244.7	153.8	0.0	2.5	13.2	68.2	69.9	٢٥ - ٠	A		
C	544.6	295.5	88.3	207.2	159.9	0.0	1.4	13.4	8.7	136.4	٥٣ - ٢٥	C1		
C	614.6	370.1	31.3	338.8	15.3	0.0	0.5	0.5	2.6	11.7	٨٥ - ٥٣	C2	DP125 حوض نهر ٣ حضر	DF125 حوض نهر ٢ سماوة
C	518.0	368.3	41.8	326.5	113.7	0.0	4.6	0.9	19.9	88.3	١١٨ - ٨٥	C3		
SiL	78.6	522.9	182.7	340.2	398.5	0.0	2.1	8.9	109.4	278.1	١٥٠ - ١١٨	C4		

جدول (١) مستمر

التوزيع الحجمي للفائق التربة													العنق (سم)	الآفاق	النقطة			
النوع	النوع	غيرين غم.كم						الرمل غم.كم										
		٢	٣	٤	٥	٦	٧	٨	٩	١٠	١١	١٢						
SiC	449.4	510.6	160.6	350.0	40.0	0.0	10.0	6.0	12.0	12.0	15-0	A	DP115 حوض نهر ٣ دریافت	DF57 حوض ري ٢ أبوعرق	MM2 حوض ري ١ كوت			
SiC	420.0	560.0	110.0	450.0	20.0	0.0	1.0	3.0	9.0	7.0	35-15	C1						
SiC	400.0	570.0	170.0	400.0	30.0	0.0	4.0	6.0	6.0	14.0	78-35	C2						
SiL	130.0	700.0	450.0	250.0	170.0	0.0	0.0	14.0	51.0	105.0	115-115	C3						
SiL	110.0	660.0	390.0	270.0	230.0	0.0	20.0	35.0	63.0	112.0	150-115	C4						
SiCL	433.7	392.3	65.2	327.1	174.0	0.0	2.2	3.8	93.4	74.6	22-0	A	DF57 حوض ري ٢ أبوعرق	MM2 حوض ري ١ كوت				
SIL	137.9	639.6	381.5	258.1	222.5	0.0	4.4	5.2	84.8	128.1	58-22	C1						
SIL	156.4	620.5	222.6	397.9	223.1	0.0	1.5	1.4	49.9	170.3	102-58	C2						
SIL	178.6	536.9	252.2	284.7	284.5	0.0	0.2	22.6	25.4	236.3	114-102	C3						
SiC	408.6	477.6	67.3	410.3	113.8	0.0	0.2	2.3	69.6	41.7	150-114	C4						
L	245.5	294.3	100.1	194.2	460.2	0.0	0.8	50.6	252.7	156.1	28-0	A	MM2 حوض ري ١ كوت					
LS	80.0	131.2	111.2	20.0	788.8	0.0	26.9	150.0	355.7	256.2	55-28	C1						
LS	81.5	138.9	52.0	86.9	779.6	0.0	0.3	71.9	533.9	173.5	87-55	C2						
LS	88.9	120.3	60.2	60.1	790.8	0.0	6.7	146.7	502.1	135.3	114-87	C3						
LS	22.0	178.1	29.0	149.1	799.9	0.0	1.5	26.2	672.9	99.3	150 114	C4						

يبين الجدول رقم (٢) قيم معدلات المعايير الإحصائية لمفصولات ترب أساس سلاسل (بيدونات) ترب الدراسة والتي اعتمدت على نتائج تحليل مفصولات التربة بعد إسقاطها على شكل المنحنيات التجميعية كي تعبر كمياً عن مدبات تجانس الدقائق المترسبة حجمياً ، ومحاولة بيان بيئاتها الترسيبية وكشف درجات فرزها . إذ إن صفات المواد المترسبة تتأثر بدرجة كبيرة بيئاتها ترسيبها ، وإن جميع الرسوبيات غير متجانسة طبيعياً وتتضمن درجات متنوعة من النسجات ، [٩] . فالنتائج تؤكد أن حجوم الدقائق المترسبة في ترب الأحواض النهرية والأحواض الأروانية هي ضمن مدبات حجم الرمل الناعم جداً *Very fine sand* الناعم (Fine clay $\phi - 3.18$) ، وبمعدلات تراوحت بين الرمل الناعم جداً ($\phi - 3.6$) والطين المتوسط ($\phi - 9.6$) . وسادت فيها المفصولات الناعمة . إذ إن مفصول الرمل الناعم جداً وجد في حالة واحدة (سلسلة ترب الكوت MM2). أما سلاسل الترب الأخرى فقد تراوحت معدلات حجومها بين الغرين الناعم جداً والطين الناعم . وأنها موقع ترسيب بطيء ونهائي وربما وصلت سرعة المياه (الناقل الأصلي) فيه إلى 0.1 cm.sec^{-1} [٢١] وهو بطيء جداً وصفة بيئات ترسيب مياه هادئة تتعدم فيها التيارات السريعة الأمر الذي يجعلها تسود فيها المفصولات ناعمة الحجوم . أما وجود تربة MM2 بمعدل حجم مفصولات رمل ناعم جداً فهو يُعزى إلى وقوعها قرب مصدر نقل فرعوي غير موجود حالياً أو لربما تم تغيير مجرى . ويحتمل أنه كان يفيض شماليأً . وتتحفظ سرعته بصورة مفاجئة مما ترتب عنه ترسب مفصولات خشنة الحجم في هذا الموقع . كما تبين النتائج إن قيم الانحراف المعياري الخطي Inclusive Standard Deviation $6I$ الذي يعبر عن حالة فرز الرواسب في موقعها قد تراوحت أدنى قيم لها بين ($\phi - 1.6$) و ($\phi - 2.0$) لتربيتي المثنى MM11 و الخالص DF55 على التوالي . بينما بلغت أعلى قيم له ($\phi - 3.3$) و ($\phi - 2.4$) لتربيتي الغراف MP12 و DF125 على التوالي . وترأوحت معدلاتها بين ($\phi - 2.0$) و ($\phi - 2.9$) لتربيتي الخالص DF55 والكوت MM2 على التوالي . وإن جميع القيم تبين أن درجة فرز الرواسب كانت من الصنف رديء الفرز إلى رديء الفرز جداً . وإن معدلاتها تراوحت أيضاً بين درجة الفرز الرديء والرديء جداً . ولجميع مواد ترب الأحواض النهرية والأروانية .

جدول (٢) معدلات المتغيرات الإحصائية لنرخ الفرز المتصوّرات مع قيمها النسبية والقصوى لبعض زرائب الدراسة

	DP115	MM2	DF57	DP125	DF125	MF12	DF117	DF55	MP12	MM5	MM11	Min. Md φ
5.40 msi	3.00 vfs	5.40 msi	5.30 msi	5.8 msi	8.80 c.c	9.30 mci	7.90 v. fsi	5.10 msi	8.60 c.c	4.60 esi	6.40 fsi	Max. Md φ
8.80 cc	5.20 msi	8.60 cc	10.20 fc	10.10 fc	10.70 fc	9.50 m.c	6.20 fsi	10.60 f.c	5.10 msi	9.60 m.c	7.30 vfsi	Min. Md φ
7.40 vfsi	3.60 vfs	6.80 fsi	8.20 c.c	8.10 c.c	9.70 m.c	9.90 c.c	8.90 c.c	5.50 msi	9.70 m.c	5.10 msi	8.70 c.c	X. Md φ
5.90 msi	3.20 vfs	6.20 fsi	5.70 msi	6.80 fsi	9.20 m.c	9.10 m.c	8.10 c.c	5.90 msi	8.70 c.c	5.00 msi	7.30 vfsi	Min. Md φ
8.80 c.c	3.90 vfs	8.60 c.c	10.00 f.c	10.00 f.c	10.20 f.c	9.70 m.c	7.00 vfsi	10.50 f.c	6.80 fsi	9.70 m.c	8.80 c.c	Max. Md φ
7.60 vfsi	3.60 vfs	7.10 vfsi	8.00 c.c	8.30 c.c	9.50 m.c	9.60 m.c	9.10 m.c	6.40 fsi	9.60 m.c	5.60 msi	8.80 c.c	X. Md φ
2.10 vps	1.70 ps	2.40 vps	1.90 ps	2.30 vps	2.20 vps	2.20 vps	2.50 vps	2.00vps	1.90 ps	1.60 ps	Min. 61 φ	
2.80 vps	2.70 vps	3.00 vps	3.30 vps	2.90 vps	2.90 vps	2.70 vps	2.70 vps	3.20 vps	2.40 vps	2.80 vps	2.90 vps	Max.61 φ
2.50 vps	2.0 vps	2.70 vps	2.60 vps	2.70 vps	2.50 vps	2.40 vps	2.40 vps	2.90 vps	2.10 vps	2.10 vps	2.30 vps	X.61 φ
0.00 sym	+ 0.20 fsk	- 0.30 sk	- 0.40 sesk	- 0.30 csk	- 0.80 csk	- 0.60 sesk	0.00 s	+ 0.30 sfsk	- 0.30 csk	+ 0.10 fsk	- 0.10 n.s	Min. SK ₁
+0.50 sfisk	+ 0.80 sfik	+0.50 sfik	+0.30 fsk	+0.50 sfik	0.10 fsk	0.00 sym	+ 0.20 fsk	+ 0.60 sfisk	+ 0.20fesk	+ 0.60 sfisk	- 0.1 n.s	Max. SK ₁
0.30 fsk	+ 0.50 sfik	+0.20 fsk	- 0.70 sesk	+0.10 fsk	- 0.30 csk	- 0.30 csk	+ 0.10 fsk	+ 0.50 sfisk	- 0.10 n.s	0.40 sfisk	0.0 sym	X. SK ₁
0.76 PK	0.78 PK	0.93 mK	0.72 PK	0.83 PK	0.62 VPK	0.77 PK	0.73 PK	0.81 PK	0.77 PK	0.95 mK	0.47VPK	Min.K _G
1.52 VLPK	6.95 ELPK	1.23 LPK	1.62VLPK	0.91 mK	0.83 PK	1.07 mK	1.05 mK	1.21 LPK	0.97 mK	1.45 LPK	0.98 PK	Max.K _G
1.02 mK	2.93 VLPK	1.03 mK	0.97 mK	0.88 PK	0.79 PK	0.87 PK	0.94 mK	1.14 LPK	0.83 PK	1.23 LPK	0.77PK	X. K _G
0.42 PK	0.44 PK	0.48 mK	0.42 PK	0.45 PK	0.38 VPK	0.44 PK	0.42 PK	0.45 PK	0.44 PK	0.48 mK	0.33VPK	Min.K _G
0.6 VLPK	0.87 ELPK	0.55 LPK	0.62 VLPK	0.48 mK	0.48 PK	0.52 mK	0.46 mK	0.52 LPK	0.49 mK	0.59 LPK	0.47 PK	Max.K _G
0.49 mK	0.67 VLPK	0.51 mK	0.48 PK	0.47 PK	0.44 PK	0.46 PK	0.45 mK	0.49 LPK	0.45 PK	0.54 LPK	0.43 PK	X. K _G

Kurtosis = K_G
Normalized Kurtosis = K_G
Fine skewed = fsk
Coarse skewed = csk
Strongly coarse skewed = sesk
Near symmetrical = ns
Symmetrical = s

Fine lepto kurtic = vpk
Very platy kurtic = vlpk
Platy kurtic = pk
Meso kurtic = mK
Lepto kurtic = LPK
Extremely lepto kurtic = ELPK
Very fine silt = v fsi
Medium clay = mci
Very fine sand = vfs
Coarse clay = cc
Poorly sorted = ps

ويمكن أن يعزى ذلك إلى أن هذه التربات وقعت في مياه هادئة مع وجود قليل من التيارات وهي بيئة نموذجية لبيئة الأهوار والبحيرات ، [11] . ويمكن أن يعزى سبب وجود قيم واطئة الفرز لمعدل الفرز ٦ وكما موضح في الجدول (٣) وللأفاق C4,C2,C1 لترابة الكوت MM2 إلى إن هذه المنطقة معرضة جزئياً لفعاليات نقل وزخم سريع قصير المدى،أدى إلى تحسين درجة فرز روابتها لتصبح من الصنف الرديء مقارنة بالتراب الأخرى التي كانت درجة الفرز فيها من النوع الرديء جداً . أما بالنسبة لمعامل الانحراف (Inclusive graphic skewness SKI) الذي يكشف عن الجانب الذي تشغله أغلب مفصولات التربة من حيث درجة الخشونة أو النعومة. فالنتائج المعروضة في الجدول رقم (٢) تؤشر أن معظم مفصولات الرواسب لمواد ترب أساس سلاسل البحث تمثل إلى الحيوان الناعم والناعم جداً . ويمكن أن يعزى ذلك إلى أن نسجة مادة تربة الأساس لسلال الترب في الأغلب كانت ناعمة النسجة (طين - طين غريني) . أما وجود حالات لمعامل الانحراف الذي يميل إلى الحيوان الخشن لبعض مواد ترب أساس سلاسل البحث فإنه يمكن أن يعزى إلى احتواها على جزء خشن.ولربما ناتجة عن مجتمعات مزج الغرين الخشن والرمل الناعم جداً في بعض مواد ترب الأساس. ويبين جدول (٢) إن أقل قيمة لمعامل الانحراف SKI تراوحت بين ٠.٣ + و ٠.٨ - لتربيتي الخالص DF55 وخراب MF12 على التوالي، في حين إن أعلى قيم له تراوحت بين ١.٠ - و ٠.٨ + لتربيتي مثلثي MM11 والكوت MM2 على التوالي، وبلغت معدلاتها بين ٠.٧ - و ٠.٥ + لتربيتي DP125 والكوت MM2 على التوالي.وجميع هذه الترب تؤشر كون مفصولات الرواسب تتراوح بين الحيوان الخشن جداً والمتماثل والحيوان الناعم جداً. وأن القيم السالبة والموجبة يتحمل أنها ناجمة عن مزج المجتمعات الثانوية Subpopulation للرمل مع الغرين مع الطين [٦] . وهذا يؤكد إن الدقائق المترسبة قد تعرضت إلى حالات الخدش والجلاء والتكسر خلال عمليات النقل والإرساب المتكررة بدءاً من مصادر تجويتها ولغاية موقع ترسبها، وهي بذلك تجويه فيزياوية خلال حركتها.

ويبين جدول (٣) أن قيم معامل الانحراف SKI قد تراوحت بين (٠.٨٣ - و ٠.٨٣ +) لأفقي C2, C3 من سلسلة خراب MF12 والكوت MM2 على التوالي وإن قيم معامل القرطاح (KG) Graphic Kurtosis تراوحت بين (٠.٦٢ - و ٠.٩٥) لأفقي C1 و C4 من تربتي خراب MF12 والكوت MM2 على التوالي . وهذا يبين إن الرسوبيات هي من النوع المسطح جداً Very Platykurtic والمدبب للغاية Extremely Leptokurtic . وتبيّن النتائج إن معامل قيم القرطاح تمثل إلى الزيادة بزيادة حجم مفصولات التربة وميل النسجة نحو الخشونة ويتبين من ذلك إن أجسام ترب أساس سلاسل البحث مكونة من مادتين رسوبيتين ناعمة النسجة ذات معدل معامل تفرطاح واطئ ومن الصنف المسطح والمسطح جداً . وهذا يؤشر كون الرسوبيات في هذه الترب تكون من جزئين متباينين في صنف الحجوم ودرجة الفرز . ومادة رسوبية ثانية ذات نسجة مزاجة غريبة وقيم معامل تفرطاح Kurtosis لها متوسطة إلى مرتفعة يدل على أن صنف التفرطاح لها من النوع المدبب إلى المدبب جداً leptokurtic مما يؤشر كون العينات الواقعية في الأطراف أفضل فرزاً من الوسط . وإن هذه القيم تؤشر وجود ظرف في ترسيب مختلفين في بيئتهما . الأولى كان فيها تيار الماء هادئ عديم الأمواج قليل السرعة والثانية كان فيها الماء ذي زخم نقل وسرعة أعلى وسرعة أكبر مما سمح بنقل مفصولات أكبر حجماً . وهذا يدل على أنها تمثل سطوح جيومورفية متعددة ومتراقبة .

وإن رسوبيات مواد ترب أساس سلاسل البحث وقعت ضمن أصناف تفريط المستوي والمسطح جداً بنسبة ٧٩.٤ % ويمكن أن يعزى ذلك إلى أن معظم المترسبات تقع ضمن مديات الحجم الناعم بينما بلغت نسبة الرسوبيات التي وقعت ضمن تفريط مدبب والمدبب جداً ١٧.٢ % والتي كان صنف تفريطها مدبب للغاية قد شكلت بنسبة ٣.٤ % فقط . ويمكن أن تفسر هذه النتائج إلى المدى الواسع لحجوم دقائق الرسوبيات التي تضمنتها مترسبات الأحواض النهرية والأروائية . فضلاً عن معامل التجوية الفيزياوية الناتجة عن طول مسار حركة المفصولات وانقالها . وتراوحت معدلات معامل التفريط K_G والمعروضة في جدول (٣) بين (٤٣ .٠ و ٦٧ .٠) وتقع جميعها ضمن النوع المسطح جداً ولجميع تربات ترب أساس سلاسل الدراسة . ويعزى سبب ذلك إلى تعرض جميع هذه الرواسب إلى عمليات تجوية متساوية ومتقاربة . وإن معظم عملية النقل هي عمل موضعي منقول بمياه النهر أو الري . ولعرض ربط حجوم الدقائق المتوضعة ببيئاتها الترسيبية ، فقد جرى توقيع المعايير الإحصائية الحجم الوسيط (Median diameter . Md.) ، الانحراف المعياري الخطي (Inclusive graphic standard deviation)

(skewness SKI) على مخططات ستيفارت [١] بهدف تعريف البيئات الترسيبية المختلفة في وحدتي الأحواض النهرية والأحواض الأروائية ، شكل (٣ ، ٤) ، ومنها يلاحظ إن معظم ترب أساس سلاسل البحث وقعت خارج حدود منطقة بيئة ترسيب المياه الهادئة في كلا المخططين . ويمكن أن يعزى ذلك إلى المدى الواسع للمعدل الحسابي لحجوم مفصولات مواد لترب أساس سلاسل البحث الذي تراوح بين ١٠.٢ ϕ و ٣.٠ ϕ ، ومنها نجد أن الرسوبيات التي وقعت خارج حدود منطقة تربات الماء الهادئ يمكن اعتبارها بيئة ترسيب ماء هادئ ومن النوع المعلق Suspension . وذلك بسبب وقوعها بنفس الاتجاه على امتداد هذه المنطقة. فضلاً عن امتلاكها نفس مدى معدل الحجوم ومعدل الانحراف Skewness ومعدل قيم الانحراف المعياري (الفرز) ذي الصنف الرديء جداً . وهي بذلك تقع في نفس بيئة ترسيب الماء الهادئ . عدا أربع عينات تعود لنفس تربة الأساس لسلسلة تربة الكوت MM2 وقعت خارج حدود الماء الهادئ ولكن باتجاه بيئة فعالities النهر وهي ذات درجة فرز ٦١ مختلفة تراوحت بين (١.٧ ϕ و ٢.٠ ϕ) ، كما مبين في جدول (٣) وتعود لنفس بيئة الترسيب عدا كونها متأثرة بسرعة تيار أكبر عما هو عليه في البيئات الأخرى .

جدول (٣) المتغيرات الإحصائية لدرجة فرز لمواد ترب السلاسل في منطقة الدراسة

K_{G^0}	K_G	SK_1	$\Sigma \Phi$	$Mz\Phi$	$Md\Phi$	الأفق	السلسلة
0.33	0.49	0.30	1.60	7.30	6.40	A	MM11 مثلى
0.45	0.83	- 0.01	2.90	8.90	8.95	C ₁	
0.44	0.79	- 0.10	2.80	8.80	9.00	C ₂	

0.46	0.86	- 0.10	2.30	9.70	9.60	C ₃	
0.47	0.89	- 0.13	2.00	9.40	9.40	C ₄	
0.43	0.77	- 0.01	2.30	8.80	8.70	X	
0.51	1.02	0.55	2.80	6.80	5.60	A	MM5 الحي
0.59	1.45	0.06	1.90	5.00	5.00	C ₁	
0.53	1.13	0.55	2.10	5.70	5.06	C ₂	
0.48	0.95	0.33	2.00	5.60	5.10	C ₃	
0.58	1.40	0.36	1.90	5.00	4.60	C ₄	
0.54	1.19	0.37	2.10	5.60	5.07	X	
0.49	0.97	0.15	2.40	9.00	8.62	A	
0.44	0.77	- 0.09	2.10	8.70	8.95	C ₁	
0.45	0.81	- 0.08	2.10	10.50	10.40	C ₂	MP12 الغاف
0.45	0.82	- 0.28	2.10	9.90	10.60	C ₃	
0.44	0.77	- 0.10	2.00	10.10	10.20	C ₄	
0.45	0.83	- 0.08	2.10	9.60	9.70	X	
0.45	0.81	0.33	3.20	7.00	6.20	A	
0.51	1.21	0.58	2.50	6.20	5.40	C ₁	
0.52	1.07	0.37	3.00	5.90	5.30	C ₂	
0.51	1.04	0.56	2.60	6.00	5.10	C ₃	
0.48	0.92	0.43	3.10	6.70	5.60	C ₄	DF55 خلص
0.49	1.01	0.45	2.90	6.40	5.50	X	
0.45	0.81	0.07	2.54	9.00	8.80	A	
0.42	0.73	0.03	2.67	8.90	8.80	C ₁	
0.46	0.84	- 0.02	2.23	9.70	9.60	C ₂	
0.45	0.83	0.02	2.22	9.70	9.50	C ₃	
0.45	1.05	0.17	2.54	8.10	7.90	C ₄	
0.45	0.85	0.05	2.40	9.10	8.90	X	
0.44	0.77	- 0.12	2.70	9.10	9.30	A	DF115 زريب
0.52	1.07	- 0.19	2.58	9.50	9.80	C ₁	
0.45	0.83	0.01	2.24	9.70	9.60	C ₂	
0.45	0.83	- 0.30	2.20	10.20	10.70	C ₃	
0.46	0.85	- 0.64	2.49	9.70	10.00	C ₄	
0.46	0.87	- 0.25	2.44	9.60	9.90	X	
0.44	0.77	- 0.12	2.70	9.10	9.30	A	DF117 الصفا
0.52	1.07	- 0.19	2.58	9.50	9.80	C ₁	
0.45	0.83	0.01	2.24	9.70	9.60	C ₂	
0.45	0.83	- 0.30	2.20	10.20	10.70	C ₃	
0.46	0.85	- 0.64	2.49	9.70	10.00	C ₄	
0.46	0.87	- 0.25	2.44	9.60	9.90	X	

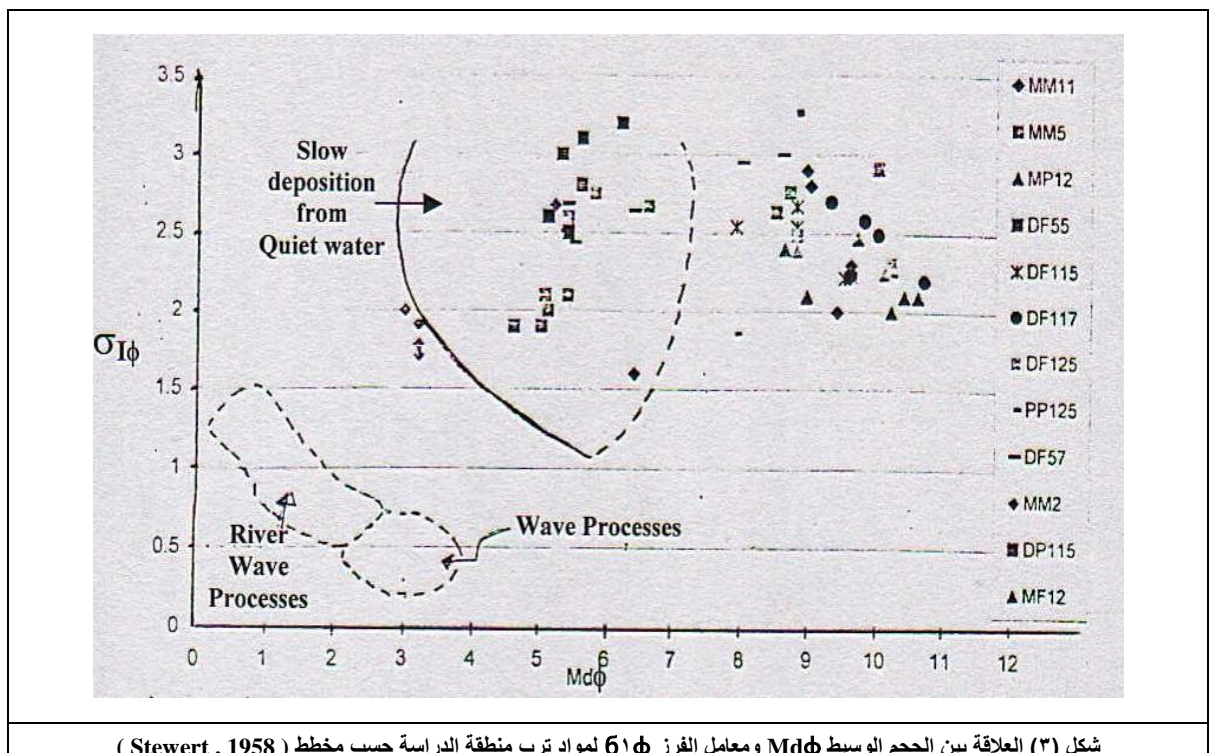
جدول (٣) مستمر

K _{Ḡ}	K _G	SK ₁	Б1Φ	MzΦ	MdΦ	الأفق	السلسلة
0.48	0.93	0.14	2.39	9.20	8.80	A	MF12
0.38	0.62	- 0.31	2.91	9.20	10.00	C ₁	

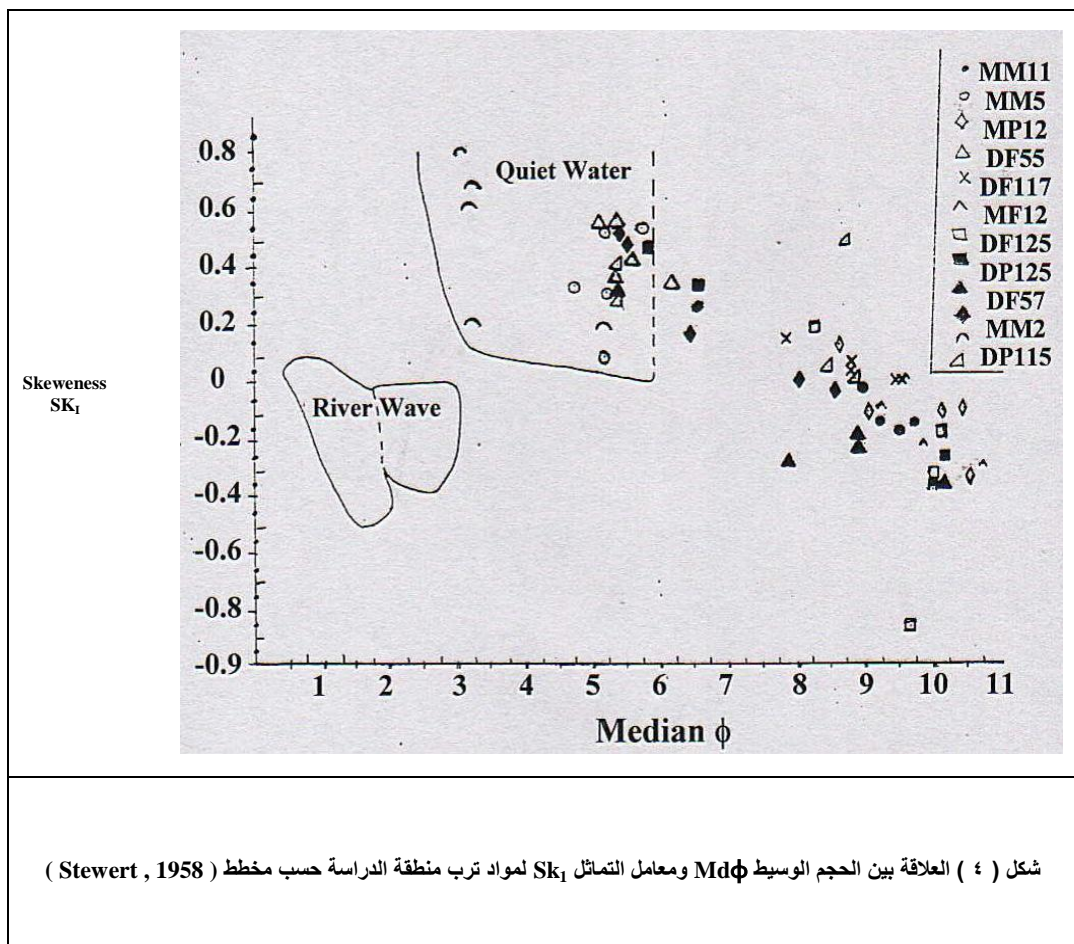
0.44	0.81	- 0.83	2.47	9.60	9.70	C ₂	خراب
0.45	0.83	- 0.14	2.25	10.00	10.10	C ₃	
0.44	0.80	- 0.29	2.50	9.50	9.70	X	
0.47	0.89	- 0.21	2.32	10.00	10.20	A	DF125 سماوية
0.45	0.83	- 0.33	2.92	9.30	10.00	C ₁	
0.48	0.90	0.48	2.75	6.80	5.80	C ₂	
0.48	0.91	0.35	2.67	7.20	6.60	C ₃	
0.47	0.88	0.07	2.70	8.30	8.20	X	
0.42	0.72	- 0.20	3.28	8.40	8.80	A	
0.42	0.72	- 0.18	3.26	8.40	8.80	C ₁	DP125 حضر
0.42	0.74	- 0.37	2.24	10.00	10.20	C ₂	
0.62	1.62	- 0.28	1.86	7.50	7.90	C ₃	
0.52	1.06	0.32	2.51	5.70	5.30	C ₄	
0.48	0.97	- 0.14	2.63	8.00	8.20	X	
0.51	1.04	- 0.01	2.95	7.80	8.00	A	DF57 أبو غرق
0.51	1.03	0.17	2.64	6.70	6.40	C ₁	
0.55	1.23	0.48	2.44	6.20	5.50	C ₂	
0.48	0.93	0.53	2.68	6.40	5.40	C ₃	
0.48	0.93	- 0.03	3.00	8.60	8.60	C ₄	
0.51	1.03	0.23	2.70	7.10	6.80	X	
0.44	0.78	0.19	2.67	3.47	5.20	A	MM2 كوت
0.63	1.69	0.23	1.71	3.18	3.20	C ₁	
0.63	1.73	0.62	1.91	3.89	3.20	C ₂	
0.78	3.51	0.83	2.00	3.48	3.00	C ₃	
0.87	6.95	0.70	1.78	3.86	3.20	C ₄	
0.67	2.93	0.51	2.00	3.60	3.60	X	
0.43	0.76	0.50	2.76	8.70	8.70	A	DP115 دریسات
0.45	0.83	0.02	2.49	8.80	8.80	C ₁	
0.42	0.73	0.03	2.63	8.50	8.50	C ₂	
0.55	1.25	0.42	2.10	6.00	5.40	C ₃	
0.6	1.52	0.30	2.59	5.90	5.40	C ₄	
0.49	1.02	0.25	2.50	7.60	7.40	X	

يلاحظ من شكل (٣ ، ٤) أن رسوبيات سلاسل البحث تجمعت في عناقيد Clusters من النقاط عددها اثنان أو ثلاثة ضمن بيئة الترسيب الرئيسية وهي بيئة ترسيب نهرية . وهذا يؤشر وجود بيئات ترسيب ثانوية محلية . وهي ربما تمثل سطوح جيومورفية متعددة ومتغيرة اختلفت فيها ظروف ترسيب المنقولات فيها في ذلك الوقت . وفيها نجد أن الرسوبيات الأحسن

حجمً تجمعت في موقع متأثر بسرعة مياه أكبر من مجاوراتها ذات البيئات الترسيبية للمياه الهدئة ، التي تجمعت فيها الرسوبيات الأنعم حجماً . عرضت نتائج التوصيف المعندي لسلسل ترب الدراسة في الجدولين (٤ و ٥) إذ يظهر فيها تغير نسب هذه المعادن أفقياً و عمودياً . ويمكن أن يُعزى ذلك إلى اختلاف كميات المنشول منها والمترب في ترب هذه الأحواض النهرية والأروائية في كل دورة ترسيبية . فضلاً عن الاختلافات الجيومورفية لموقع هذه الترب واختلاف درجات تجويتها النسبية كذلك بسبب طبيعة الترسيب التي حصلت فيها . إن اختلاف سرعة الترسيب والنقل وتعاقبها للرسوبيات وكذلك توقف الترسيب أدى إلى اختلاف توزيع المعادن ضمن ترب أساس السلاسل المدروسة ولغرض توصيف الرسوبيات في ترب المنطقة بواسطة المجاميع المعننية السائدة Mineral suites التي تدل على بيئاتها الترسيبية . فقد تم استعمال معدن الفلدسبار ، الجيرت (الصوان) ، البليوتايت لأغراض المقارنة .



شكل (٣) العلاقة بين الحجم الوسيط $Md\phi$ ومعامل الفرز $\sigma_{I\phi}$ لمواد ترب منطقة الدراسة حسب مخطط (Stewart , 1958)



جدول (٤) يبين نسب المعادن الخفيفة في ترب أساس بعض سلاسل الترب في منطقة الدراسة

سلسلة الترب	رقم	كوارتز%	جيرو%	كلورايت%	فلسيبر%	موسوكوفايت%	بايوتايت%	ومعادن مجاورة%	قطع صخرية%	الوزنية النسب	معاملات التجوية wr1
MF12	1:06.44	99.5	4.7	1.1	4.5	2.2	9.0	44.5	29.0	A	
	1:20.59	98.5	2.3	2.4	2.7	4.9	5.5	26.6	55.6	C1	
	1:14.03	99.1	3.2	0.5	2.6	1.6	6.9	48.7	36.5	C2	
	1:19.75	99.3	13.2	4.2	2.4	1.9	8.1	22.8	47.4	C3	
	1:21.78	99.6	11.3	1.2	1.8	4.3	25.1	17.1	39.2	A	
	1:14.24	99.6	11.2	2.7	2.9	4.5	17.2	20.2	41.3	C1	
	1:11.32	99.1	8.0	2.1	3.1	7.4	21.1	23.2	35.1	C2	
	1:12.47	96.6	13.2	3.1	3.4	6.1	14.6	17.2	42.4	C3	
MP12	1:11.96	99.8	10.6	2.7	3.1	5.3	19.1	22.1	37.1	C3	
	1: + ٩.٢٦	٩٩.٥	١٢.١	١.٠	٣.١	٢.١	٧.٠	٤٦.٠	٢٨.٧	A	
	1: ١٦.٣٨	٩٩.٣	١٣.٤	٥.٤	١.٨	٢.٧	١١.٦	٣٥.٦	٢٩.٥	C1	
	1: ١٥.٦٢	٩٧.٧	٢.٨	٥.٨	٢.٩	٢.٠	٦.٨	٣٤.٤	٤٥.٣	C2	
	1: + ٧.١٣	٩٩.٣	٣.٨	٢.٧	٥.٤	٦.١	٨.١	٣٢.٤	٣٨.٥	C3	
	1: + ٧.١٣	٩٩.٣	٣.٨	٢.٧	٥.٤	٦.١	٨.١	٣٢.٤	٣٨.٥	C3	
	1: ١٤.٥٧	٩٨.١	٦.٠	٣.٥	٣.٠	٥.٠	١٠.٤	٢٨.٤	٤٣.٧	A	
	1: ٢٦.٣٨	٩٩.٢	١.٦	٣.٧	٢.١	٤.٨	١٢.٢	٢٠.٢	٥٥.٤	C1	
DF125	1: + ٥.٩١	٩٩.٩	٥.٤	٢.١	١٠.٣	٠.٠	٢.٢	١٨.١	٦٠.٩	C2	
	1: ١١.٨٤	٩٨.٥	٢.٧	٦.٥	٣.٨	٤.١	١٠.٥	٢٧.٤	٤٥.٠	C3	
	1: ١١.٩٥	٩٨.٧	٧.٤	٨.٨	٣.٧	٨.٦	١٥.٣	١٢.٢	٤٤.٢	C4	
	1: ١٤.٣٤	٩٩.١	14.4	1.5	2.9	2.2	16.1	21.3	41.6	A	
	1: ٢١.٧٣	٩٧.٠	٩.٤	٢.٨	٢.٢	١.١	١٠.٠	٢٦.٧	٤٧.٨	C1	
	1: ٠٦.٥٢	٩٩.٢	٩.٠	٤.٢	٤.٨	٣.٦	١٠.٤	٣٦.٧	٣١.٣	C2	
	1: ٢٢.٠٠	٩٨.١	11.0	4.6	2.1	3.6	7.7	24.8	46.2	C3	
	1: ٢٣.٠٥	٩٩.٤	٩.١	٤.٧	٢.٠	٣.٥	١٢.٣	٢٣.٣	٤٦.١	C4	
DP125	1: ٢٢.٩٥	٩٨.٧	٤.٣	١.٣	١.٩	٣.١	٢٣.٣	١٧.٥	٤٣.٦	A	
	1: ٢٣.٢٥	٩٦.٥	4.3	1.٢	١.٢	٣.٠	٢٢.٤	٣٢.٨	٣٥.١	C1	
	1: + ٧.٢٣	٩٩.١	3.9	٤.٤	٤.٤	٣.٨	٨.١	٤٣.٦	٢١.٨	C2	
	1: ١٩.٨٥	٩٨.٨	٧.٧	٢.٧	٢.٧	٢.٩	١٧.٥	٢٣.٥	٤٤.٠	C3	
	1: ٢٠.٨١	٩٩.٥	٤.٨	٢.٧	٣.١	٢.٢	٨.١	٢٤.٧	٥٤.٥	C4	
	1: ١٢.٥٣	٩٩.٠	5.6	3.7	3.6	4.6	16.9	20.5	45.1	A	
	1: ٢٢.٠	٩٩.٧	3.8	2.2	1.7	0.5	4.4	50.0	37.4	C1	
	1: ١١.٠٤	٩٩.٦	4.3	3.5	2.6	1.7	8.8	50.4	28.7	C2	
MM11	1: ٢٠.٥٦	٩٧.٢	3.9	21.2	1.8	1.8	13.1	21.2	37.0	C3	
	1: ٠٨.٢٢	٩٨.٨	1.4	6.٥	4.6	7.٨	26.٢	15.٧	37.٨	C4	
	1: ١٤.٦٧	٩٨.٦	14.3	4.6	2.٧	6.٢	12.١	20.٥	39.٦	A	
	1: ٤٣.٦٤	٩٩.٤	16.٧	2.٨	1.١	5.٣	11.٥	14.٦	48.٠	C1	
	1: ٢١.٧١	٩٩.٣	16.٧	4.٥	2.١	2.٦	6.٤	22.١	45.٦	C2	
	1: ١٩.١٧	٩٨.٩	12.٠	6.٧	2.٤	2.٤	5.٥	25.٠	46.٠	C3	
	1: ١٠.٧٩	٩٩.١	3.٢	4.٢	3.٨	6.٣	20.٥	21.٠	41.٠	C4	
	1: ١١.٩٨	٩٨.٥	5.٩	3.٩	4.٤	3.٤	1٩.٠	10.٧	52.٧	A	
DF117	1: ١٣.٣٣	٩٧.٨	5.٠	4.٠	4.٠	5.٥	1٤.٦	1٣.٦	٥٣.٣	C1	
	1: ٢٩.٠٠	٩٤.٦	6.١	2.٠	2.٠	5.١	1٥.٧	11.١	٥٨.٠	C2	
	1: ١٤.١٩	٩٧.٦	5.٩	1.٦	4.٣	3.٢	1٦.٠	8.٠	6١.٠	C3	
	1: ٢٠.٧١	٩٨.٢	7.٦	3.٩	2.٨	2.٢	1٣.٣	12.٢	٥٨.٠	C4	
DF115	1: ٤٣.٦٤	٩٩.٤	16.٧	2.٨	1.١	5.٣	11.٥	14.٦	48.٠	C1	
	1: ٢١.٧١	٩٩.٣	16.٧	4.٥	2.١	2.٦	6.٤	22.١	45.٦	C2	
	1: ١٩.١٧	٩٨.٩	12.٠	6.٧	2.٤	2.٤	5.٥	25.٠	46.٠	C3	
	1: ١٠.٧٩	٩٩.١	3.٢	4.٢	3.٨	6.٣	2٠.٥	٢١.٠	٤١.٠	C4	
	1: ١١.٩٨	٩٨.٥	5.٩	3.٩	4.٤	3.٤	١٩.٠	١٠.٧	٥٢.٧	A	
	1: ١٣.٣٣	٩٧.٨	5.٠	4.٠	4.٠	5.٥	١٤.٦	١٣.٦	٥٣.٣	C1	
	1: ٢٩.٠٠	٩٤.٦	6.١	2.٠	2.٠	5.١	١٥.٧	١١.١	٥٨.٠	C2	
	1: ١٤.١٩	٩٧.٦	5.٩	1.٦	4.٣	3.٢	١٦.٠	٨.٠	٦١.٠	C3	
DF57	1: ٢٠.٧١	٩٨.٢	7.٦	3.٩	2.٨	2.٢	١٣.٣	١٢.٢	٥٨.٠	C4	

٨

جدول (٤) مستمر

معاملات التجوية wr1	النسبة الوزنية	قطع خصريه % ومعادن مجوادة %	كلورايت %	فلنسيلر %	موسوكوفايت %	بايروتايت %	جيبريت %	كورلزت %	الـ Zn	سلسلة الترب
:10.75	99.3	4.3	1.9	5.2	3.8	10.4	18.5	55.9	A	MM5
1:19.83	97.0	6.3	3.4	2.9	2.9	9.8	17.2	57.5	C1	
1:11.61	98.7	6.6	1.6	4.4	1.1	5.5	29.7	51.1	C2	
1:16.55	98.4	7.0	4.4	3.1	4.3	13.2	16.7	51.3	C3	
1:11.29	98.8	2.0	3.6	4.8	5.2	10.1	20.1	54.2	C4	
1:14.79	97.8	6.3	1.1	3.4	1.7	11.5	25.7	50.3	A	
1:13.27	97.5	6.3	4.1	1.8	5.8	8.1	17.6	56.3	C1	
1:07.94	98.7	4.0	3.0	6.3	6.3	14.9	15.5	50.0	C2	
1:10.06	99.4	4.8	3.5	5.2	5.2	17.4	11.6	52.3	C3	DF55
1:13.94	98.3	7.1	5.3	3.5	4.1	15.9	15.3	48.8	C4	
1:31.78	98.2	9.0	5.4	1.8	1.2	6.1	19.3	57.2	A	
1:11.12	99.1	8.5	2.5	5.0	2.0	6.5	19.9	55.6	C1	
1:09.37	98.1	5.1	4.5	5.7	4.0	10.8	16.5	53.4	C2	
1:35.53	95.2	3.3	1.7	1.7	2.3	2.8	27.8	60.4	C3	MM2
1:31.42	99.3	4.5	1.3	1.9	0.7	5.9	26.0	59.7	C4	

جدول (٥) يبين نسب المعادن الثقيلة في ترب أساس سلسل ترب في منطقة الدراسة

معاملات التجوية wr1	النسبة المئوية	قطع صغرية ومعدن م gio%	بلورات%	سترونت%	كلينيت%	تومالين%	زركون%	روتين%	أبيوت%	كلورات%	كاربنت%	بلوريكسين%	أمفيبرول%	معان مفتقة%	الافق	سلسلة التردد
1:0.00	0.5	11.2	6.6	0.0	0.0	0.0	0.0	0.0	0.0	5.6	3.7	1.9	38.3	32.7	A	MF12
1:0.01	1.5	20.0	3.1	0.0	0.5	0.5	0.0	0.0	0.5	3.6	0.5	5.1	34.3	31.9	C1	
1:0.00	0.9	15.6	5.1	0.5	0.0	0.0	0.0	0.5	0.0	4.5	0.5	5.5	35.5	32.3	C2	
1:0.03	0.7	14.1	0.0	0.0	0.0	0.0	0.0	0.6	0.6	1.1	2.8	5.1	38.4	37.3	C3	
1:0.01	0.4	17.2	1.4	0.0	0.0	1.4	0.7	0.0	3.5	0.7	1.4	2.7	51.0	20.0	A	
1:0.00	0.4	10.2	18.4	0.0	0.0	0.0	0.0	0.0	0.0	0.9	0.9	0.9	32.1	36.6	C1	MP12
1:0.00	0.9	7.8	5.2	0.0	0.5	0.0	0.0	0.0	0.0	1.1	2.6	3.1	48.4	31.3	C2	
1:0.02	3.4	9.8	1.8	0.6	0.6	0.6	0.6	1.2	1.2	1.2	1.8	3.1	50.5	27.0	C3	
1:0.00	0.2	7.9	26.8	0.0	0.0	0.0	0.0	0.0	0.0	1.6	3.9	3.1	42.5	14.2	C4	
1:0.00	0.5	16.9	5.8	0.	0.	0.	0.	0.	0.	0.	0.	0.	44.7	25.6	A	DF125
1:0.007	0.7	13.6	2.0	0.	0.	1.	0.	2.	0.	0.	0.	0.	16.3	55.6	C1	
1:0.00	2.3	10.0	4.9	0.	0.	0.	0.	0.	0.	0.	0.	0.	18.0	55.0	C2	
1:0.003	0.7	14.7	0.6	0.	0.	0.	0.	0.	0.	0.	0.	0.	34.6	34.0	C3	
1:0.001	1.9	19.2	2.2	0.	0.	0.	0.	0.	0.	0.	0.	0.	40.7	25.0	C4	
1:0.003	0.8	19.3	5.2	0.	0.	0.	0.	0.	0.	0.	0.	0.	16.3	45.7	A	DP125
1:0.003	0.1	17.4	9.7	0.	0.6	0.	0.	0.	0.	0.	0.	0.	18.0	37.5	C1	
1:0.002	1.0	13.3	12.7	0.	0.	0.	0.	0.	0.	0.	0.	0.	36.1	27.1	C2	
1:0.001	1.3	11.2	10.7	0.	0.	0.	0.	0.	0.	0.	0.	0.	39.0	31.7	C3	
1:0.00	0.5	16.9	5.8	0.	0.	0.	0.	0.	0.	0.	0.	0.	44.7	25.6	C4	

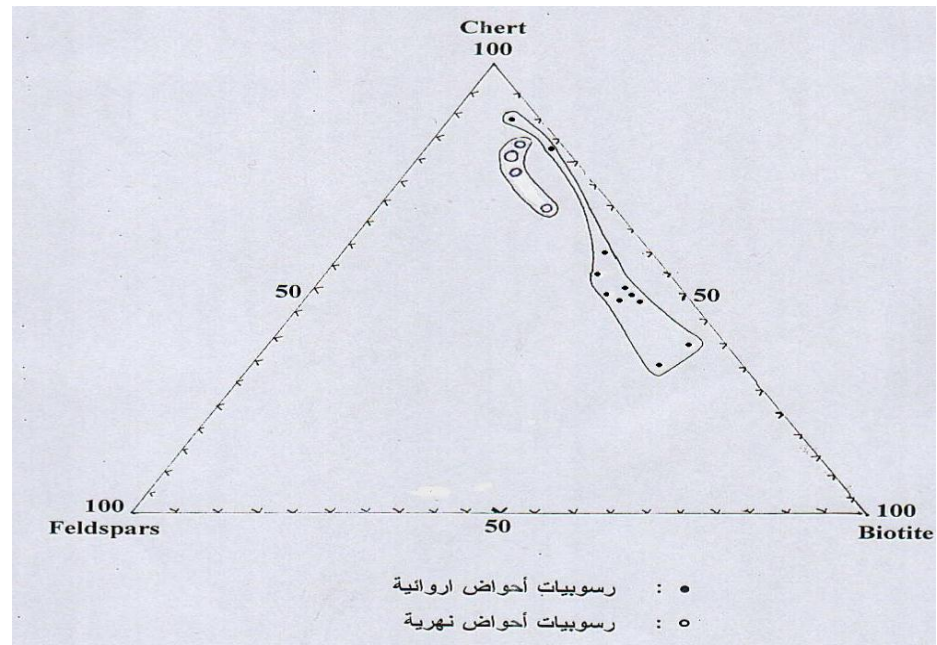
جدول (٥) مستمر

معاملات التجوية wr1	النسبة المئوية %	قطع صخرية ومعادن مجوأة %	بلوتوت %	ستوكات %	كابنات %	غورمالين %	زنكون %	روتيل %	أنبيوت %	كلريلات %	كاربنت %	بلوريوكسجين %	أفيديل %	معادن معقنة %	الافق	سلسلة التجزي
1:0.0%	0.9	11.0	2.6	2.6	2.6	2.6	0.0	0.0	0.0	2.6	7.9	7.9	36.6	23.6	A	MM11
1:0.02	3.0	19.2	1.2	0.0	0.6	0.0	0.6	0.6	0.0	4.6	4.1	5.1	27.4	36.6	C1	
1:0.00	0.8	13.5	5.4	0.4	0.2	0.0	0.0	0.7	0.0	1.4	2.0	7.4	42.6	26.4	C2	
1:0.00	1.9	13.8	14.3	0.0	0.0	0.0	0.0	0.0	0.0	8.3	0.9	3.3	32.6	26.8	C3	
1:0.00	0.5	9.8	11.2	0.0	0.0	0.0	0.5	0.5	9.3	1.1	2.4	35.1	30.1	C4		
١:٠.٠٠	١.٣	٩.٥	٠.٠	٠.٠	٠.٠	٠.٠	٠.٠	٠.٠	١.٠	٠.٠	٠.٠	٥.٩	٤٥.٦	٣٦.٦	A	DF117
١:٠.٠٠	٣.٥	١٣.٦	٣.٠	٠.٠	١.٠	٠.٠	٠.٠	٠.٠	٢.٦	٣.٠	٠.٠	٥.٣	٤١.٤	٣١.٣	C1	
١:٠.٠١	٠.٩	١٢.٢	١.١	٠.٠	٠.٠	٠.٠	٠.٠	٠.٠	٠.٠	١.٠	٢.٠	٣.٩	٤٤.٤	٣٣.٣	C2	
١:٠.٠١	١.٢	١٣.٢	١.١	٠.٠	٠.٠	٠.٠	٠.٠	٠.٠	١.٠	٢.٧	٤.٤	٤٢.٤	٣٣.٣	C3		
١:٠.٠٠	٠.٥	١٢.٨	٢.٣	٠.٠	٠.٠	٠.٠	٠.٠	٢.٠	٠.٠	٢.٠	٠.٣	٤٥.٢	٣٠.١	C4		
1:0.01	1.0	17.7	0.0	0.0	0.0	0.0	0.8	0.0	0.0	1.5	0.8	7.7	59.2	12.3	A	DF115
1:0.00	0.3	24.4	2.1	0.0	0.0	0.0	0.0	0.0	0.8	0.0	1.5	5.9	32.6	32.7	C1	
1:0.00	0.4	14.8	1.1	0.0	0.0	0.0	0.0	0.6	0.7	0.8	0.6	3.2	35.6	42.6	C2	
1:0.03	2.8	0.0	0.9	0.8	0.0	0.5	0.7	2.1	0.5	0.5	0.8	0.9	39.2	53.1	C3	
1:0.01	1.2	8.2	9.0	0.4	0.0	0.0	0.5	0.0	0.5	0.5	0.0	8.0	33.9	39.0	C4	
1:0.03	1.4	8.4	25.0	0.4	0.0	0.9	0.3	0.7	1.2	5.5	0.5	1.5	35.2	20.4	A	DP115
1:0.01	0.6	3.5	5.1	0.0	0.6	0.0	0.5	0.4	2.4	2.1	2.1	6.1	45.1	32.1	C1	
1:0.00	0.7	14.8	15.0	0.0	0.0	0.0	0.0	0.0	0.5	6.5	1.5	4.2	18.2	39.3	C2	
1:0.00	1.1	10.0	6.8	0.3	0.0	0.0	0.0	0.0	0.5	4.5	2.5	5.1	35.1	35.2	C3	
1:0.03	10.9	10.2	11.2	0.0	0.4	0.7	0.4	0.0	0.6	2.0	1.2	4.2	37.0	32.1	C4	
1:0.00	1.5	19.0	13.1	0.0	0.6	0.0	0.0	0.0	0.0	4.2	0.6	2.4	28.6	31.5	A	DF57
1:0.02	2.2	14.8	2.7	0.0	1.1	0.5	0.0	1.1	1.1	5.3	1.6	1.6	28.2	42.0	C1	
1:0.06	5.4	11.8	21.0	0.5	0.0	1.5	0.0	0.0	0.0	6.7	1.0	4.1	23.1	30.3	C2	
1:0.03	2.4	13.5	1.8	0.0	1.8	1.2	0.0	0.0	1.8	1.8	1.2	2.5	35.1	39.3	C3	
1:0.03	1.8	7.1	1.1	0.5	0.5	1.1	0.0	0.9	4.3	1.7	0.9	2.6	42.7	36.6	C4	
1:0.00	1.5	19.0	13.1	0.0	0.6	0.0	0.0	0.0	0.0	4.2	0.6	2.4	28.6	31.5	A	MM5
1:0.02	2.2	14.8	2.7	0.0	1.1	0.5	0.0	1.1	1.1	5.3	1.6	1.6	28.2	42.0	C1	
1:0.06	5.4	11.8	21.0	0.5	0.0	1.5	0.0	0.0	0.0	6.7	1.0	4.1	23.1	30.3	C2	
1:0.03	2.4	13.5	1.8	0.0	1.8	1.2	0.0	0.0	1.8	1.8	1.2	2.5	35.1	39.3	C3	
1:0.03	1.8	7.1	1.1	0.5	0.5	1.1	0.0	0.9	4.3	1.7	0.9	2.6	42.7	36.6	C4	
1:0.01	0.7	7.7	11.2	0.0	0.8	0.4	0.0	0.0	0.8	5.2	1.1	4.1	44.4	24.3	A	DF55
1:0.00	3.0	9.0	0.8	0.0	1.6	0.0	0.0	0.0	0.0	1.6	2.4	4.9	52.4	27.3	C1	
1:0.00	1.3	7.7	3.9	0.0	0.0	0.0	0.0	0.0	0.0	1.9	1.0	3.8	54.8	26.9	C2	
1:0.03	1.6	6.6	4.5	0.0	0.0	0.6	0.0	1.7	1.7	2.2	0.6	2.8	50.6	28.7	C3	
1:0.00	1.2	15.2	5.8	0.8	0.8	0.0	0.0	0.0	0.0	2.5	1.6	3.3	46.7	23.3	C4	
1:0.00	2.2	13.0	5.3	0.0	0.6	0.0	0.0	0.0	0.6	3.0	1.2	3.7	45.4	27.2	A	DF55
1:0.00	2.5	12.0	21.8	0.0	0.7	0.0	0.0	0.7	0.4	5.8	0.7	4.1	32.0	21.8	C1	
1:0.00	1.3	12.1	2.5	0.5	0.5	0.0	0.0	1.0	1.0	0.5	1.0	6.6	45.2	29.1	C2	
1:0.02	0.6	13.4	1.3	1.9	0.4	0.6	0.6	3.1	0.0	0.6	0.6	1.9	55.0	20.6	C3	
1:0.00	1.7	17.6	0.0	0.6	0.4	0.0	0.0	0.0	3.0	0.6	1.8	4.2	47.0	24.8	C4	

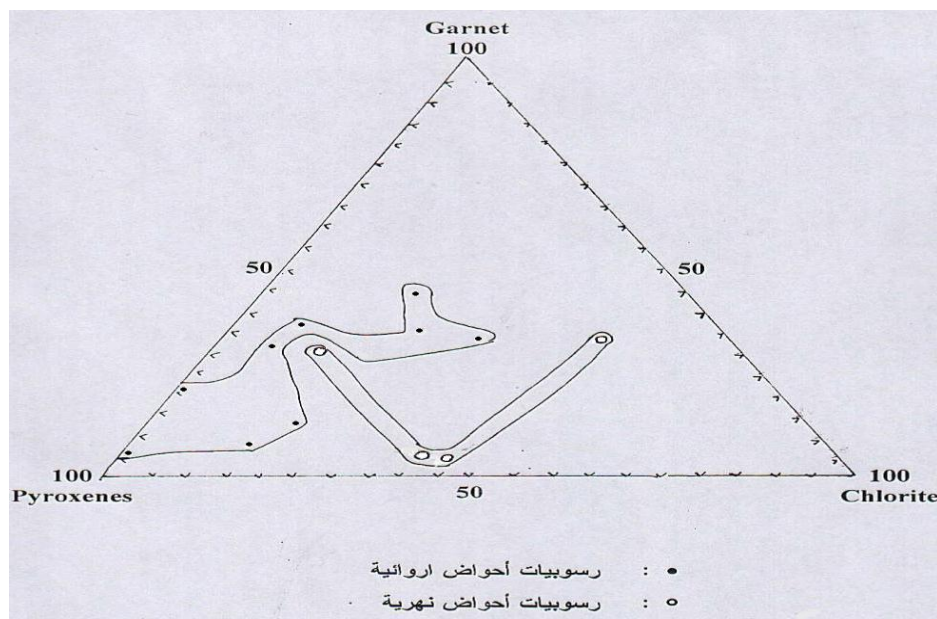
جدول (٥) مستمر

معاملات التجوية wr1	نسبة الرمال%	نسبة الصخرة%	نسبة الماء%	نسبة الكايتات%	نسبة تورمالين%	نسبة زركون%	نسبة روبل%	نسبة آبيوت%	نسبة كلورايت%	نسبة كاربونات%	نسبة تيتانيوم كسيين%	نسبة أمفيبول%	نسبة معادن معنتنة%	الافق	سلسلة تأثير
1:0.00	1.8	19.5	0.0	0.9	0.9	0.0	0.0	0.9	4.3	1.7	0.9	2.6	42.7	25.6	A
1:0.00	0.9	13.4	19.2	0.0	0.6	0.0	0.0	0.0	1.7	0.0	0.6	1.7	15.7	47.1	C1
1:0.00	1.9	8.8	1.3	0.6	0.6	0.0	0.0	0.0	0.0	0.0	1.3	7.5	29.4	50.5	C2
1:0.05	4.8	11.3	1.3	0.7	0.7	1.3	0.0	0.0	1.3	0.0	1.3	5.3	23.8	53.0	C3
1:0.05	0.7	12.0	2.7	0.0	1.8	1.1	0.5	0.0	0.5	1.6	0.5	3.8	33.7	41.8	C4

وبعد عرضها على شكل مثلث فقد وجد أن رسوبيات الأحواض النهرية والأحواض الأروائية وقعت بين منطقتين (provences) واحدة لكل منها شكل (٥) . إلا إن جميع الرسوبيات وقعت في موقع رئيسي واحد يمثل رسوبيات غنية بمعدن الجيرت ٣٥ - ٨٩ % وباليوتايت ٧.٩ - ٦٥.٠ % والفلدسبار ٣٠ - ١٠٠ % ، وجرى استعمال نسب معدن الكارنيت والبايروكسين والكلورايت لعرض توصيف ومقارنة رسوبيات الأحواض النهرية والأروائية في موقع البحث . إذ أوضح شكل (٦) انزال النماذج بموقعين أيضاً كلاهما وقع في منطقة رئيسة واحدة غنية بمعدن كارنيت ٤.٨ - ٤٥.٤ % وبایروکسین ١٧.٠ - ٩٤.١ % وكلورايت ٠ - ٥٠ % . ويمكن الاستنتاج بأن المعادن الخفيفة نجحت أكثر في توصيف رسوبيات الأحواض النهرية والأروائية مقارنة بالمعدن الثقيلة . وعموماً فإن حجوم مفصولات التربة كانت هي الأكثر فاعلية في وصف البيانات الترسيبية والمعادن الخفيفة أفضل من الثقيلة في هذا المجال . وترب أساس سلسل البحث تحتوي على نفس المجاميع المعدنية وتخالف في النسب فقط . ويستنتج من هذه الدراسة بأن مفصولات التربة في رسوبيات وحدتي الأحواض النهرية والأروائية تحتوي على مزيج من أصناف الحجوم ، وأن بيئه ترسيبها هي بيئه ترسيب المياه الهادئة . ولربما كانت فيها سرعة المياه بحدود ١.٠ سم . ثا - ١ . وانزلت الترسيبات في بيئتين ثانويتين محليتين حديثي التكوين . ولربما تمثلان أسطح جيومورفولوجي حديثة التكوين . وإن المعادن الخفيفة ساعدت في التمييز بين الرسوبيات وبيئتها بشكل أفضل من المعادن الثقيلة .



شكل (٥) تمثيل مثلثي للنسب المئوية لمعادن الجيرت (الصوان) ، الفلدسبار والباليوتايت في ترب أساس بعض سلاسل الأحواض النهرية والأروانية



شكل (٦) تمثيل مثلثي للنسب المئوية لمعادن البايروكسین ، الكارنيت والكلورايت في ترب أساس بعض سلاسل الأحواض النهرية والأروانية

المصادر :

1. Stewart , Jr. H. B. , " Sedimentary refraction of depositional environment in San Migal Lagon Baic ", California Mexico Bull, Am. Assoc. Pet. Ceol , Vo l. 4 No.2 PP44 , 1958 .
2. Saadllah , A. and Z. Kukal , " Carbonate content and grain size of coastal sediments of Iraq " , J. of geol. Soc. Of Iraq , Vol. 2 , No. 1 , PP : 1 - 9 . 1985 .
3. Daniels,R.B. ;E. E.Gamble and J.G. Cady " The relation between geomorphology and soil morphology and genesis " , Agronomy , Vol. 23 , pp. : 51 -86 , 1971.
4. El-Zahaby , E. M. ; I. M. Gewaifel and M. N. Hassan " A pedogeomorphological study of soil under different depositional environments , Rosietta area .A. R. E. Alex. " J. Agric . Res. ,PP 351 – 357 , 1977.
5. Gewaifel I. M. and E. M. Elzahaby, " Heavy minerals study of soils under different depositional environments Rossita Area " Alex. J. Agric. Res. , 25 (2) : 359 – 313 , 1977.
6. Salman , H. , H. Al-Jiburi and M. Al-Dabas , " Sedimentological and mineralogical investigation of Northwest Arabian Gulf sediments " J. of wter Reso. , Vol. 4 , No. 2 , PP : 44 – 77 , 1985.
7. Al-Jiburi, H. and M. Al-Daba , " Sedimentilological investigations a long Tigris-Tharhar channel . J. of water resources " ,Vol. 4 No. 1 , PP :65 – 91 , 1985.
8. Kurn , J. S. and R. B. Bryant " Soils developed in sediments from late quaternary water bodies in Nort New Yourk " , S. S. S. A. J. , Vol. 51 , No. 7 , PP : 738 – 745 , 1987.
9. Al-agidi , W. K. , " Applicability of geomorohic interpretations of Tigris-Euphrates riverspedostratigraphic systems in soil survey practices " , Agric. Sci. 25 (2) , Iraqi J. , PP 24 – 32 , 1994 .
10. Buringh , P. , Soils and soil conditions in Iraq , Agric. Ministry , Baghdad , Iraq , 1960 .
11. Delever , P. Saline soils in the lower Mesopotamian plain , Minisitry of Agriculture directorat of agric. Research and projects , Baghdad , Iraq , 1960 .
١٢. عبد الرحمن ، جمال ناصر ، " دراسة الرواسب مقدم سدة الكوت وتأثيرها على أداء السدة " ملحق مجلة البحث التقنية ، المجلد ١٥ ، العدد ١٠٦ : ص ٥٠ - ٧٠ . ٢٠٠٢ .
13. Gersar , Semidetailed Soil survey . Kut –AlHai Zone. East Gharaf Proj .. Min. of irrig. Rep. of Iraq , 1982.

٤. الزبيدي ، نجم عبدالله جمعه ، توصيف وتصنيف الأنظمة الأيكوبولوجية والعلاقات المتدخلة بينهما ضمن بعض ترب السهل الرسوبي العراقي ، أطروحة دكتوراه . كلية الزراعة ، جامعة بغداد . ٢٠٠٢ .

15. Al-agidi , " Proposed soil classification at the series level for Iraqi soils " , Agriculture college , Tech. , Baghdad University , Iraq . 1976 .

16. Day , P. R. , Partic fractionation and particle size analysis, ch. 43 in Black , C. A. (ed.) methods of soil analysis , American Soc. Of Agronomy vog. , PP 545 – 565 , 1965 .

17. Milner, B. H. " Sedimentry petrology . par 11 , principles and applications " , Ruskin House . Geoge. Allen and Unwin LTD. , 1962 .

18. Folk, R. L. " Petrology of sedimentry rocks " , Hemphill pub. Com. , USA ,25 (2) , PP : 351 – 357 , 1974 .

١٩. العكيدی ، ولید خالد ، " نظام تصنیف التربة العراقیة " ، مجلہ العلوم الزراعیة ، مجلد ٢٧ ، العدد ١ : ص ١ - ١٥ ، ١٩٩٦ .

٢٠. ثورنبری ، دبليو دي ، وفيق علي الخشاب وعلي المياح (ترجمة) ، أسس الجيومورفولوجي . ص ٢٢٦ ، جامعة بغداد . ١٩٧٥ .

21. Ruhe, R.V., " Geomorphology , geomorphic processes and surficial geology " , PP : 75 - 96 . 1975 .

(تاريخ استلام البحث) (٢٠٠٩/١/١٩)
(تاريخ قبول نشر البحث) (٢٠٠٩/٩/٩)